

宮崎大学工学部 正会員 石黒政儀  
 ○ 宮崎大学工学部 学生員 平木次男  
 宮崎大学工学部 学生員 桃坂繁

### 1 はしがき

わが国においてでん粉廃液による水質汚濁は北海道の馬鈴薯でん粉によるものが早くから問題視され、北海道大学衛生工学教室において各種の処理法が研究検討されているが、いまだに決定的な処理法が確立されていない現状であり；この種の廃液処理の困難性を物語っている。<sup>3)</sup>一方甘藷でん粉廃液による水質汚濁事件は、その生産地域である関東以西の各地方で発生し、特に南九州地方における甘藷生産量とでん粉生産量は全国の60%を占めており、この種の廃液処理の必要性が叫ばれている。その中でも宮崎県中南部を流れ九州オ2の河川である大淀川流域には約90工場が営業し、その廃液によつて昭和39年度秋には全川にわたつて魚類が死滅し、大淀川の表流水を水源とする宮崎市上水道の浄水能力低下となつて断水という事件をひき起した。<sup>2)</sup>宮大石黒研究室では昭和40年度より本廃液処理に関する研究を進めて来たが<sup>3)</sup>、この廃液処理法の問題点としては①工場資本が小さい、②工場が広い農村地帯に営業している、③工場が年間操業しない、④廃液の量が極めて多い、⑤廃液のBOD濃度が非常に高く最高COD 10,000 ppm以上であるなどが主にあげられるが、この廃液処理法に最も要望されることは①処理施設の低廉、②維持管理の容易、である。この目的に適合するものとして回転円板接触法をヒリあげ、昭和40年度に予備実験を行い、41年度にはさらに大型のプラント実験を行ない、返泥なし、初沈あり、回転数1.5~2.5 rpm 差異なしの結果が得られたので<sup>4)</sup>、42年度秋にはこれら諸結果の確認と追加実験を行ない、今後の実際工場での設計データを得ることができたのでここにオ4報として報告する。なお現在宮崎県において各工場に設置せている単純沈殿池の浄化機能実態調査を行なつたので、これについても簡単に報告する。

### 2 回転円板接觸法の実験装置と実験目的

実験装置は41年度に用いたものと同じで<sup>5)</sup>、円板直径は2mの発泡スチロール製、厚さ13mm、間隔3cm、枚数はオ1系列(3段) 51枚、オ2系列(2段) 50枚、円板全面積(生物膜付着面積)はオ1系列 301m<sup>2</sup>、オ2系列 295m<sup>2</sup>、円板回転数は2.5 rpmで一定、両系列に1‰/hr ~ 6‰/hr、COD負荷4,000‰/m/d ~ 500‰/m/d の原液を無希釈で実験計画に従つて

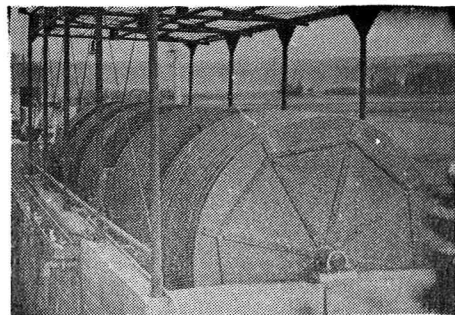
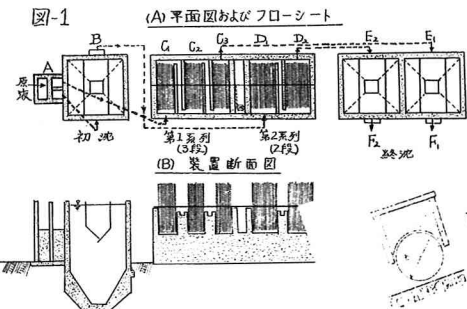


写真-1 回転円板法実験装置



流入させ、オ1系列は初沈なし、オ2系列は初沈(インホフ)あり、終沈(インホフ)は両系列に配置して、それぞれのCOD, DO, PHを図-1の各点で連日測定した。実験期間は11月1日より12月10日までで、原液CODは初期が5,000ppm後期は10,000ppm、気温は15°C~20°C、水温は14°C~20°C、PHは4.3~6.0で、曝気槽内のDOは0.5ppm、PHは4.5であった。円板上の付着微生物は常に15°C前後を保っていた。

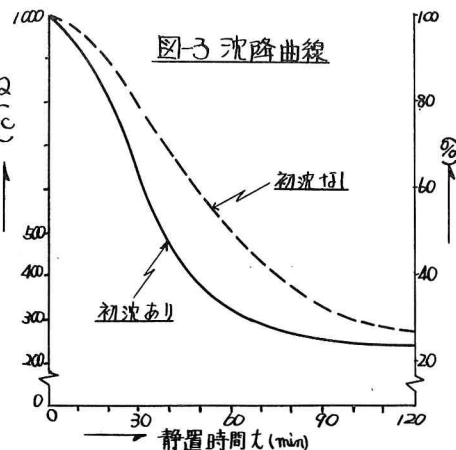
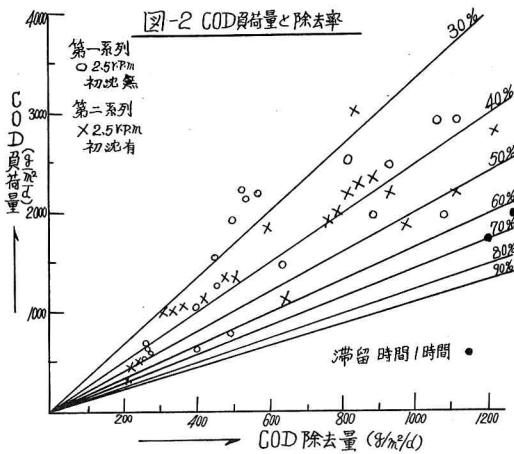
約30日間の連続運転の結果を整理した各系列の最終浄化率は図-2に示すように、 $2\text{kg/m}^2/\text{d}$ で50~60%,  $1\text{kg/m}^2/\text{d}$ で60~70%の除去が可能であることが確認された。除去効率の余り良くないものは負荷のかけ過ぎ、すなわち流量が多く曝気槽内の滞留時間(接触時間)が短か過ぎたためであり、この関係は次節で述べるバッチテストの浄化速度係数によって充分確認された。図-2にバッチテストによって得られた滞留時間1時間の値もプロットしておく。この結果から全系列での滞留時間が約1/2~1/3であるので、滞留時間を1時間とすれば本装置はさらに高浄化率を得ることができる。処理液の沈降性

を調べるために各試験ごとに沈降テストを行ひ、その結果を図-3に示す。これより沈降性は極めて良好で約60分後には1/3量の沈殿物が得られる。ここでオ1系列の初沈なし、オ2系列の初沈ありとは極めて対照的な結果を示し、初沈のあるものは1時間後に1/3量に沈殿するが、初沈がないものは1/3量沈殿までは約2時間要することである。これは実際の最終沈殿池の設計に有用な数値となる。円板上の付着微生物はスフェロチラスを主体とし、その他酵酛菌類であり付着状態を写真-2に示す。終沈の沈殿汚泥は蛋白を主体とするもので、宮崎県工試にて遠心分離機による脱水テストに成功し、乾燥飼料化の可能性が確かめられた。乾燥物として粗蛋白43%の有効飼料となる。

### 3 本方式による浄化速度ヒヤの考察



写真-2 円板上微生物付着状況



てん粉廃液処理効果の実験において、バッチテストを行ひ回転円板のオ1系列(初沈なし)と、オ2系列(初沈あり)での平均滞留時間ヒヤリに對応するCOD変化を測定し、浄化速度を求める。

一般にBOD除去速度は一次反応式に従つて、  
BOD濃度に比例すると考へられてゐるのでこの考へ方をCOD除去速度に適用する。いまY: 反応速度(除去COD ppm/hr) t: 滞留時間(hr) L<sub>t</sub>: 原水のCOD(ppm) L<sub>t</sub>: t時間後のCOD(ppm)  
k: 速度係数(1/hr) とすると反応式は次式となる。

$$Y = -dL_t/dt = kL_t \quad \dots \dots \dots (1)$$

これを積分して变形すると

$$t = 1/k \cdot 2.3 \cdot \log(L_0/L_t) \quad \dots \dots \dots (2)$$

本実験データを  $\log L_t$  と t の関係としてプロットすると、図-4、図-5のようになり、これより浄化速度式は次のように示される。

オ1系列のオ1段階  $t = 3.83 \log L_0/L_t \quad \dots \dots \dots (3)$

オ2段階  $t = 9.20 \log L_0/L_t$

オ2系列のオ1段階  $t = 3.29 \log L_0/L_t \quad \dots \dots \dots (4)$

オ2段階  $t = 23.00 \log L_0/L_t$

これらの図から、処理水CODは3000~4,000 ppmを境にして、前後の勾配(速度係数)は異なるが直線的に低下する。本実験におけるオ1段階のCOD低下の速度係数(k<sub>1</sub>)は、オ1系列で0.60、オ2系列で0.70であり、オ2段階のやれ(k<sub>2</sub>)は、オ1系列で0.25、オ2系列で0.10といった。従つてオ1、オ2系列において1時間の滞留時間(曝気反応時間)が最も効果的であるといえる。参考までにドイツの Pöpel と伊藤、本多氏らが回転円板で行なった下水のBOD低下の速度係数はやれオ1段階で1.49と1.41、オ2段階で两者とも0.246といつてある。<sup>8,9)</sup> なお原水COD 10,000 ppm

6,000 ppm 3,500 ppm におけるCOD除去反応速度の屈曲点と回転円板方式での反応所要時間(滞留時間)を計算すればオ1表のようになる。これによると例えば原水COD 6,000 ppm を屈曲点 3,000 ppm として処理水COD 3,000 ppm を得るには、オ1系列で

図-4. 初沈なしの浄化効率

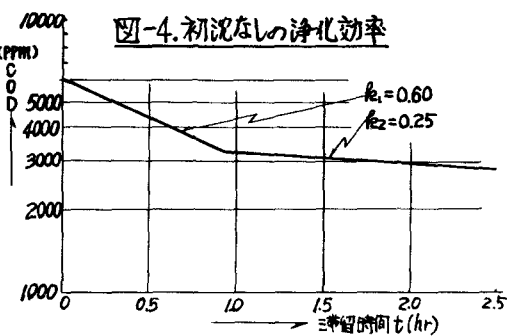
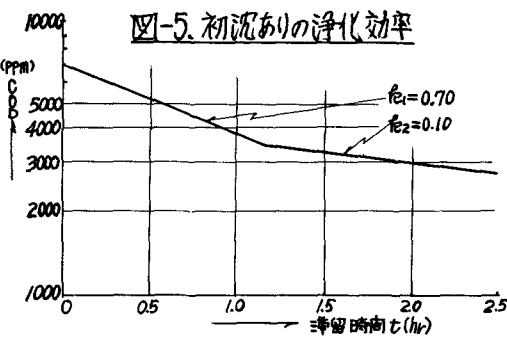


図-5. 初沈ありの浄化効率



オ1表 COD除去反応速度の屈曲点と  
回転円板方式での反応所要時間

原水COD (ppm)	屈曲点のCOD				
	5,000	5,500	6,000	6,500	
2,000	オ1段 反応時間 (hr)	1.15	0.99	1.00	0.85
	オ2段 反応時間 (hr)	3.66	9.15	4.04	10.10
	全体の反応時間 (hr)	4.81	10.14	5.04	10.95
3,000	オ1段 反応時間 (hr)	1.15	0.99	1.00	0.95
	オ2段 反応時間 (hr)	2.04	5.11	>12	6.05
	全体の反応時間 (hr)	3.19	6.10	3.42	6.70

原水COD (ppm)	屈曲点のCOD				
	3,500	3,000	2,500	2,000	
2,000	オ1段 反応時間 (hr)	0.90	0.77	1.15	0.99
	オ2段 反応時間 (hr)	2.24	5.59	1.62	4.05
	全体の反応時間 (hr)	3.14	6.36	2.77	3.04
3,000	オ1段 反応時間 (hr)	0.90	0.77	1.15	0.99
	オ2段 反応時間 (hr)	0.62	1.54	—	—
	全体の反応時間 (hr)	1.52	2.31	1.15	0.99

原水COD (ppm)	屈曲点のCOD				
	2,500	2,000	1,500	1,000	
2,000	オ1段 反応時間 (hr)	0.56	0.48	0.93	0.80
	オ2段 反応時間 (hr)	0.89	2.23	—	—
	全体の反応時間 (hr)	1.45	2.71	0.93	0.80
3,000	オ1段 反応時間 (hr)	0.26	0.22	0.26	0.26
	オ2段 反応時間 (hr)	—	—	—	—
	全体の反応時間 (hr)	0.26	0.22	0.26	0.22

1.15時間、オ2系列で0.99時間の滞留時間で済むことになる。この意味から図-2の負荷量比除去率はさらに向上させることができる。

#### 4 素掘り沈殿池の除去効果の実態

某工場における素掘り沈殿池のCOD、PH、DOの値を連日測定して、除去効果の実態調査を行なった。この沈殿池は連續して8池あり、容量は順にS<sub>1</sub>:186, S<sub>2</sub>:233, S<sub>3</sub>:123, S<sub>4</sub>:160, S<sub>5</sub>:167, S<sub>6</sub>:115, S<sub>7</sub>:88, S<sub>8</sub>:57(単位m<sup>3</sup>)である。S<sub>1</sub>, S<sub>2</sub>は28.3%<sub>hr</sub>のセバレート廃液(COD 5000~10,000 ppm)のみでS<sub>3</sub>において同量のフリューム廃液(COD 200~300 ppm)が加わり希釈化されており、S<sub>1</sub>~S<sub>2</sub>とS<sub>3</sub>以下は別々に検討すべきである。図-6にCOD、図-3にPH、DOの値を示す。24時間後に20~30%のCOD低下の効率がある。S<sub>3</sub>以下の沈殿池は大きな効果は上げられず、後期には嫌気性分解による沈殿物の浮上などによって逆効果がみられる。図-2中に三重県と鹿児島県での静置COD低下曲線を参考に示す。<sup>10) 11)</sup>これらのことから単純沈殿池の限界が認められ、維持管理と沈殿汚泥の除去、処分の重要さがうかがわれる。

#### 5 むすび

昭和40年度より開始した本実験は本年度で3年を迎へ、回転円板法による甘藷沈殿液処理の諸特性を順次明らかにすることにできた。その結果本処理法は既往の活性汚泥法や散水ろ床法と全く違ったメカニズムを持ち、極めて高負荷の廃液処理に適合し(10~100倍)、設備費の低廉、維持管理の容易さ、という特徴を有することを確認できた。特に本年度の実験では負荷の限界と反応速度係数の算出、処理液の沈降率の値から最終沈殿池での滞留時間の決定を得ることができ、今後この処理法の実際工場への普及における各種設計データを得ることができた。また処理液の沈殿汚泥は高率の飼料となることが確認され、有機性廃液処理の最終目標である有効成分の全面回収に近づきつつあることは喜びにたえない。最後に本研究は宮崎県工試との共同研究によるもの一部であり、同工試服部正夫場長、同友房分析部長に謝意を表するものである。

**参考文献**

- 1) 神山柱一、井上一郎、高安三次、馬鈴薯沈殿粉工場における廃液処理の問題と生物化学的処理実験、用水と廃水 第3巻 12号、1961.12.
- 2) 小林幸治、石黒政義、甘藷沈殿粉廃液による大糞川の水質汚濁について、土木学会第2回衛生工学研究討論会論文集、1965.11.
- 3) 石黒政義、土壤改良三郎、中村郁夫、回転円板接触塔による甘藷沈殿液処理について、土木学会第21回年次学術講演会
- 4) 石黒政義、高畠正三郎、中村郁夫、回転円板接触塔による甘藷沈殿液処理について、土木学会第21回年次学術講演会
- 5) 石黒政義、大野重直、有留敏郎、甘藷沈殿液処理の実験的研究、土木学会西部支部昭和41年度研究発表会概要、1966.5.
- 6) 石黒政義、大野重直、有留敏郎、回転円板接触塔による甘藷沈殿液処理の実験的研究、土木学会第22回年次学術講演会概要、1967.
- 7) B.J. McCabe and W.W. Eckenfelder Ed; Biological Treatment of Sewage and Industrial Wastes Vol.1 1955.
- 8) F. Popel: Stuttgarter Bericht zur Siedlungs-wasserwirtschaft, 11 "Leistung, Berechnung und Gestaltung von Tauchtröpfchenanlagen" 1964.11.
- 9) 伊藤、本多、野原、保、角谷、回転接触板方式による下水処理実験装置の構造と機能、水処理技術 Vol.8. No.12 1967.12.
- 10) 三重県、三重県でん粉廃液処理調査報告書、三重県公害資料 No.24 1964.
- 11) 鹿児島県工試、甘藷沈殿粉工場廃水処理の研究、1967

図-6. 単純流沈殿池のCOD低下曲線

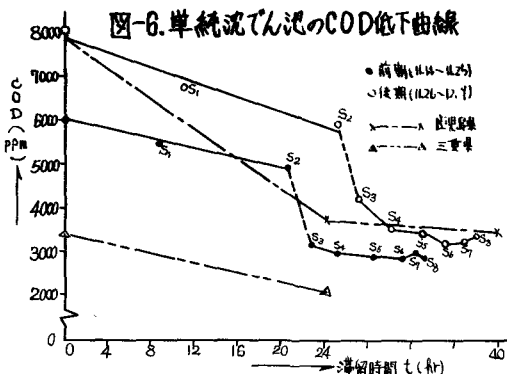


図-7. 単純流化池のPH、DO曲線

